

3. Райзер Ю. П. Лазерная искра и распространение разрядов. М.: Наука, 1974.
4. Селезнева И. К. Сферически-симметричный оптический разряд как аналог диффузионного горения в смеси горючих газов.— В сб.: Горение и взрыв. М.: Наука, 1971.
5. Баренблatt Г. И., Зельдович Я. Б., Истратов А. Г. О диффузионно-тепловой устойчивости ламинарного пламени.— ПМТФ, 1962, № 4.
6. Mucha Z., Peradzynski Z., Baranowski A. Instability of continuous optical discharge.— Bull. de l'academie polonaise des sciences, 1977, vol. 25, N 4.
7. Бараповский А., Муха З., Перадзыньский З. Неустойчивость непрерывного оптического разряда в газах.— Успехи механики, 1978, т. 1, вып. 3/4.
8. Райзер Ю. П. Дозвуковое распространение световой искры и пороговые условия для поддержания плазмы излучением.— ЖЭТФ, 1970, т. 58, с. 2127.
9. Баренблatt Г. И., Зельдович Я. Б. Об устойчивости распространения пламени.— ПММ, 1957, т. 21, вып. 6.
10. Махвиладзе Г. М., Новожилов Б. В. О двумерной устойчивости горения конденсированных систем.— ПМТФ, 1971, № 5.

УДК 536.25

ТЕПЛООБМЕН ЦИЛИНДРА ПРИ НИЗКОЧАСТОТНЫХ КОЛЕБАНИЯХ

В. Б. Репин

(Казань)

Известно, что воздействие звуковым полем интенсифицирует тепломассообменные процессы [1—3], что эффект интенсификации обусловлен наличием стационарных вторичных течений, образующихся вблизи твердой поверхности [1]. Однако имеющиеся теоретические рекомендации по этому вопросу ограничены случаем высокочастотных колебаний, в то время как ситуация, когда толщина слоя Стокса сравнима с размером тела или больше его, является не менее важной. Такая ситуация реализуется, например, в топочных устройствах, работающих в режиме высокочастотной неустойчивости и использующих распыленное жидкое или твердое топливо. Эти задачи важны, в частности, для термоанемометрии.

В работе на примере круглого цилиндра изучается вопрос о влиянии низкочастотных колебаний на локальные и интегральные характеристики процесса теплообмена. Условие низкочастотности означает, что размер слоя Стокса ($\delta_{\text{ак}} \sim (v/\omega)^{0.5}$) сравним с размером цилиндра или больше его.

Пусть круглый цилиндр радиуса a и бесконечной длины помещен в безграничную вязкую жидкость, которая на бесконечном удалении от цилиндра колеблется по гармоническому закону с циклической частотой ω . Температура поверхности цилиндра \tilde{T}_w и окружающей среды \tilde{T}_∞ считается постоянной, при этом разность температур $(\tilde{T}_w - \tilde{T}_\infty)$ полагается настолько малой, что изменением физических свойств жидкости и естественной конвекцией можно пренебречь. Пренебрегая также диссипативными эффектами, запишем уравнение энергии в виде [3]:

$$(1) \quad \frac{\partial T}{\partial \tau} + \frac{\epsilon}{1+r} \frac{\partial(\psi, T)}{\partial(r, \theta)} = \frac{H^2}{Pr} \nabla^2 T$$

с граничными условиями

$$(2) \quad T = 1 \text{ при } r = 0, \quad T = 0 \text{ при } r \rightarrow \infty.$$

Безразмерные величины в уравнениях (1), (2) определены следующим образом:

$$r = (\tilde{r} - a)/a, \quad \psi = \tilde{\psi}/Ba, \quad \tau = \tilde{\tau}\omega, \quad T = (\tilde{T} - \tilde{T}_\infty)/(\tilde{T}_w - \tilde{T}_\infty),$$

где $\varepsilon = S/a$; $H = \delta_{\text{ак}}/a$; $\delta_{\text{ак}} = \sqrt{v/\omega}$; S — амплитуда акустического смещения среды; $B = S\omega$ — амплитуда пульсаций скорости. Тильдой обозначены размерные величины.

Рассмотрим случай, когда $\varepsilon \ll 1$ (аналогичное предположение использовалось при решении гидродинамической части задачи [4]). Тогда, воспользовавшись методом возмущений, представим решение уравнения (1) в виде ряда

$$(3) \quad T = T_0 + \varepsilon T_1 + O(\varepsilon^2).$$

Аналогично представим и поле скорости

$$(4) \quad \Psi = \Psi_0 + \varepsilon \Psi_1 + O(\varepsilon^2).$$

Напомним, что, согласно [4], Ψ_0 является периодической функцией от времени с частотой ω и не содержит не зависящей от времени составляющей, в то время как Ψ_1 состоит из двух частей — стационарной $\Psi_1^{\text{ст}}$ и периодической $\Psi_1^{\text{п}}$, изменяющейся с циклической частотой 2ω .

Поскольку нас интересует влияние низкочастотных колебаний на процесс теплообмена круглого цилиндра, будем в дальнейшем полагать, что $H = O(1)$.

Рассмотрим случай, когда $\text{Pr} = O(1)$. Подставив соотношения (3), (4) в уравнение (1) и собрав члены при одинаковых степенях ε , получим следующие уравнения:

$$(5a) \quad \frac{\partial T_0}{\partial \tau} = \frac{H^2}{\text{Pr}} \nabla^2 T_0;$$

$$(5b) \quad \frac{\partial T_1}{\partial \tau} + \frac{1}{1+r} \frac{\partial (\Psi_0, T_0)}{\partial (r, \theta)} = \frac{H^2}{\text{Pr}} \nabla^2 T_1.$$

Обратимся к уравнению (5a). Представим T_0 в виде суммы стационарной и пульсирующей компонент

$$T_0 = T_0^{\text{ст}} + T_0^{\text{п}}$$

и запишем отдельно уравнения для каждой компоненты

$$(6a) \quad \frac{\partial T_0^{\text{ст}}}{\partial \tau} = \frac{H^2}{\text{Pr}} \nabla^2 T_0^{\text{ст}};$$

$$(6b) \quad \nabla^2 T_0^{\text{п}} = 0.$$

Поскольку в граничных условиях (2) отсутствует зависимость от времени, то $T_0^{\text{п}} \equiv 0$. Следовательно, поле температур T_0 не зависит от времени, и, как это следует из уравнения (6b), процесс теплоотдачи определяется только теплопроводностью (для цилиндра в этом случае $\text{Nu} \equiv 0$). Нас же интересует ситуация, когда процесс теплоотдачи при низкочастотных колебаниях является конвективным, т. е. определяется структурой вторичных течений, образующихся при колебаниях. Для этого необходимо, увеличив число Прандтля Pr , уменьшить вклад кондуктивных членов в процесс теплоотдачи.

Рассмотрим случай, когда $\text{Pr} = O(\varepsilon^{-1})$, т. е. $(\varepsilon \text{Pr}) = O(1)$. Тогда, подставив соотношения (3), (4) в уравнение (1) и собрав члены при одинаковых степенях ε , получим, учитывая, что $(\varepsilon \text{Pr}) = O(1)$,

$$(7a) \quad \frac{\partial T_0}{\partial \tau} = 0;$$

$$(7b) \quad \frac{\partial T_1}{\partial \tau} + \frac{1}{1+r} \frac{\partial (\Psi_0, T_0)}{\partial (r, \theta)} = \frac{H^2}{\varepsilon \text{Pr}} \nabla^2 T_1.$$

Из уравнения (7a) следует, что, как и в случае $\text{Pr} = O(1)$, поле температур с точностью до членов порядка ε не зависит от времени. Учитывая это,

усредним уравнение (7б) за период колебаний. Тогда, принимая во внимание, что $\psi_0 \sim \cos \tau$, получим $\nabla^2 T_0 = 0$, т. е. и при умеренно больших числах Прандтля процесс теплообмена при низкочастотных колебаниях цилиндра также является кондуктивным.

Рассмотрим случай $(\epsilon^2 \text{Pr}) = O(1)$. Используя уравнения (1), (3), (4) и повторив ту же процедуру, что и при выводе уравнений (7), получим с точностью до членов порядка ϵ^2

$$(8a) \quad \frac{\partial T_0}{\partial \tau} = 0;$$

$$(8b) \quad \frac{\partial T_1}{\partial \tau} + \frac{1}{1+r} \frac{\partial (\Psi_0, T_0)}{\partial (r, \theta)} = 0;$$

$$(8c) \quad \frac{\partial T_2}{\partial \tau} + \frac{1}{1+r} \left[\frac{\partial (\Psi_1, T_0)}{\partial (r, \theta)} + \frac{\partial (\Psi_0, T_1)}{\partial (r, \theta)} \right] = \frac{H^2}{\epsilon^2 \text{Pr}} \nabla^2 T_0.$$

Обратимся к уравнению (8б). Поскольку T_0 не зависит от времени, а $\psi_0 \sim \cos \tau$, то

$$T_1 = T_{10}(r, \theta) + T_{11}(r, \theta) \sin \tau.$$

Тогда, применив к уравнению (8в) операцию осреднения по времени за период колебаний, получим

$$(9) \quad \left\langle \frac{1}{1+r} \left[\frac{\partial (\Psi_1, T_0)}{\partial (r, \theta)} + \frac{\partial (\Psi_0, T_1)}{\partial (r, \theta)} \right] \right\rangle - \frac{H^2}{\epsilon^2 \text{Pr}} \nabla^2 T_0.$$

Второе слагаемое в левой части уравнения (9) равно нулю, так как функции, описывающие зависимость от времени ψ_0 и T_1 , являются ортогональными на промежутке $[0, 2\pi]$. Учитывая это, уравнение (9) запишем в виде

$$(10) \quad \frac{1}{1+r} \frac{\partial (\Psi_1^{\text{ст}}, T_0)}{\partial (r, \theta)} = \frac{H^2}{\epsilon^2 \text{Pr}} \nabla^2 T_0,$$

где $\Psi_1^{\text{ст}}$ — стационарная составляющая функции тока.

Таким образом, при низкочастотных колебаниях конвективный перенос тепла становится существенным только для случая больших чисел Прандтля $\text{Pr} = O(\epsilon^{-2})$. Кроме того, как это следует из уравнения (10), пульсационные составляющие скорости и температуры не оказывают никакого влияния на стационарное поле температур. Аналогичный результат для случая высокочастотных колебаний был впервые получен в работе [1].

Из структуры уравнения (10) также следует, что в том случае, когда $(\epsilon^2 \text{Pr}) \gg 1$, вблизи поверхности цилиндра образуется тепловой пограничный слой, толщина которого (учитывается, что вблизи поверхности $\Psi_1^{\text{ст}} \sim \sim r^2$, а также, что $H = O(1)$) порядка $O[a(\epsilon^2 \text{Pr})^{-1/3}]$. Тогда, вводя переменные, соответствующие тепловому пограничному слою,

$$y = k^{-1}r, t_0(y, \theta) = T_0(r, \theta), k = (\epsilon^2 \text{Pr})^{-1/3},$$

а также разложив функцию тока $\Psi_1^{\text{ст}}$ и температуру в ряд по k

$$\Psi_1^{\text{ст}} = k^2 \beta_1 + k^3 \beta_2 + O(k^4), \quad t_0 = t_{00} + kt_{01} + O(k^2)$$

и подставив в уравнение (10), получим, ограничившись членами первого порядка по k :

$$(11) \quad \frac{\partial \beta_1}{\partial y} \frac{\partial t_{00}}{\partial \theta} - \frac{\partial \beta_1}{\partial \theta} \frac{\partial t_{00}}{\partial y} = H^2 \frac{\partial^2 t_{00}}{\partial y^2},$$

$$\text{где } \beta_1 = -\frac{1}{2} y^2 \left(\frac{\partial^2 \Psi_1^{\text{ст}}}{\partial y^2} \right)_{y=0}; \quad \beta_2 = \frac{1}{6} y^3 \left(\frac{\partial^3 \Psi_1^{\text{ст}}}{\partial y^3} \right)_{y=0}.$$

Определим явный вид функции β_1 . Для этого воспользуемся решением гидродинамической части задачи, приведенным в работе [4]:

$$(12) \quad \psi_1^{\text{ex}} = \frac{1}{4\Delta} \left\{ \gamma \frac{a^2}{r^2} [\ker_2^{(\prime)} \gamma \operatorname{kei}_0 \gamma - \operatorname{kei}_2^{(\prime)} \gamma \operatorname{ker}_0 \gamma] + \right. \\ \left. + \gamma [\operatorname{kei}_0 \gamma \operatorname{ker}_0^{(\prime)} \gamma - \operatorname{ker}_0 \gamma \operatorname{kei}_0^{(\prime)} \gamma] + \right. \\ \left. + 2 \left[\ker_2 \left(\frac{\tilde{r}^2}{a^2} \right) \operatorname{kei}_0 \gamma - \operatorname{kei}_2 \left(\frac{\tilde{r}^2}{a^2} \right) \operatorname{ker}_0 \gamma \right] \right\} \sin 2\theta,$$

где $\Delta = \operatorname{ker}_0^2 \gamma + \operatorname{kei}_0^2 \gamma$; $\operatorname{ker}_2^{(\prime)} x = d/dx \operatorname{ker}_2 x$; $\gamma = H^{-1}$; $\operatorname{ker}_n x$, $\operatorname{kei}_n x$ — функции Томсона.

Используя (12), получим

$$\beta_1 = \frac{1}{4H^2} y^2 \sin 2\theta.$$

Тогда уравнение (11) перепишем в виде

$$(13) \quad y \sin \varphi \frac{\partial t_{00}}{\partial \varphi} - \frac{1}{2} y^2 \cos \varphi \frac{\partial t_{00}}{\partial y} = H^4 \frac{\partial^2 t_{00}}{\partial y^2},$$

где $\varphi = 2\theta$ и отсчитывается от линии, совпадающей с направлением колебаний цилиндра. Вводя переменную

$$x = \left(\frac{1}{9H^4} \right)^{1/3} y \frac{\sin^{1/2} \varphi}{\left[\int_0^\varphi \sin^{1/2} \chi d\chi \right]^{1/3}},$$

уравнение (13) сведем к обыкновенному дифференциальному уравнению

$$\frac{d^2 t_{00}}{dx^2} + 3x^2 \frac{dt_{00}}{dx} = 0,$$

решение которого, удовлетворяющее граничным условиям

$$t_{00} = 1 \text{ при } x = 0, \quad t_{00} = 0 \text{ при } x \rightarrow \infty,$$

имеет вид

$$(14) \quad t_{00} = 1 - \frac{3}{\Gamma(1/3)} \int_0^\infty e^{-\xi^3} d\xi,$$

где $\Gamma(\alpha)$ — гамма-функция.

Используя (14), получим, что локальный тепловой поток от цилиндра равен

$$q = -\lambda \left(\frac{\partial t_{00}}{\partial r} \right)_{r=a} (\tilde{T}_w - \tilde{T}_\infty) = 0,85 \frac{\lambda}{d} (\Pr \operatorname{Re}_\Pi^{2/3})^{1/3} \frac{\sin^{1/2} \varphi}{\left[\int_0^\varphi \sin^{1/2} \chi d\chi \right]^{1/3}}.$$

Тогда выражение для локального безразмерного коэффициента теплоотдачи, подсчитанного по диаметру цилиндра, примет вид

$$(15) \quad \text{Nu} = 0,85 \Pr^{1/3} \operatorname{Re}_\Pi^{2/3} \frac{\sin^{1/2} \varphi}{\left[\int_0^\varphi \sin^{1/2} \chi d\chi \right]^{1/3}},$$

где $\operatorname{Re}_\Pi = Ud/v$ — число Рейнольдса, подсчитанное по среднеквадратичной скорости пульсаций ($U = B/V^2$) и диаметру цилиндра.

На фигуре представлено рассчитанное по формуле (15) распределение локального коэффициента теплообмена вдоль поверхности цилиндра. Там же приведена заимствованная из работы [4] структура вторичных течений, образующихся вблизи цилиндра при низкочастотных колебаниях. Как следует из фигуры, распределение локального коэффициента теплообмена по поверхности цилиндра не является равномерным. Так, в точке набегания вторичных течений на поверхность цилиндра, которая лежит на линии, совпадающей с направлением колебаний, локальный коэффициент теплообмена достигает максимального значения, уменьшаясь по мере продвижения к точке схода вторичных течений с поверхности, причем в этой точке $Nu = 0$. Аналогичное распределение для случая высокочастотных колебаний цилиндра впервые было получено в работе [1].

Используя (15), вычислим среднее по поверхности выражение для безразмерного коэффициента теплообмена $\bar{Nu} = 0,73 \text{Pr}^{1/3} \text{Re}_{\pi}^{2/3}$ или

$$(16) \quad \bar{Nu} = 0,73 (Ud / \sqrt{Dv})^{2/3}.$$

Таким образом, при низкочастотных колебаниях цилиндра безразмерный коэффициент теплообмена пропорционален величине скорости пульсаций $U^{2/3}$ и размеру цилиндра $d^{2/3}$, обратно пропорционален коэффициенту температуропроводности $D^{-1/2}$ и кинематической вязкости среды $v^{-1/3}$ и в отличие от случая высокочастотных колебаний не зависит от частоты.

В работе [5] приведены результаты экспериментального исследования по теплоотдаче цилиндра диаметром $1,98 \cdot 10^{-2}$ м, колеблющегося в высоковязкой жидкости (мазут, автол, веретенное масло). Частота колебаний изменялась в диапазоне $1,7 - 27,0$ Гц, кинематическая вязкость жидкости $v = (66,2 - 1,28) \cdot 10^{-4}$ м²/с, число Прандтля $\text{Pr} = (150 - 1,4) \cdot 10^2$, амплитуда смещения цилиндра $S = (0,25 - 2,0) \cdot 10^{-2}$ м, т. е. выполнялось большинство допущений, принятых нами при теоретическом решении задачи, за исключением условия малости амплитуды смещения среды.

Экспериментальная формула этих авторов имеет вид

$$\bar{Nu} = 0,146 \text{Re}_{\pi}^{0,67} \text{Pr}^{0,51},$$

т. е. показатель степени при числе Рейнольдса практически совпадает с теоретическим значением, однако зависимость от числа Прандтля более сильная, нежели это предсказывает теория.

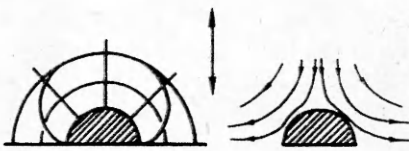
В работе [6] на основе собственных результатов и результатов работы [5] рекомендуется использовать следующее эмпирическое выражение для расчета процесса теплообмена цилиндра при низкочастотных колебаниях:

$$(17) \quad \bar{Nu} = 0,182 \text{Re}_{\pi}^{0,64} \text{Pr}^{0,32},$$

в котором функциональная связь безразмерного коэффициента теплообмена с остальными параметрами процесса практически совпала с теоретическими рекомендациями.

Соотношение (17) также было получено в недавней экспериментальной работе [7].

Следует указать на некоторое завышение значений коэффициента теплообмена, вычисленных при использовании выражения (16), полученного аналитическим путем. Это несоответствие обусловлено, на наш взгляд, в первую очередь нарушением условия малости амплитуды смещения среды, а также тем фактом, что при решении тепловой части задачи использовался профиль скорости, полученный методом Озенна, который (метод) дает завышенные значения скорости вблизи поверхности цилиндра за счет



увеличения вклада конвективных членов в уравнения движения, что и обуславливает завышенные значения коэффициента теплообмена.

Автор выражает благодарность В. Е. Накорякову за постановку задачи и обсуждение результатов.

Поступила 30 VI 1980

ЛИТЕРАТУРА

1. Накоряков В. Е., Бурдуков А. П., Болдарев А. М., Терлеев П. Н. Тепло- и массообмен в звуковом поле. Новосибирск: изд. ИТФ СО АН СССР, 1970.
2. Галицкий Б. М., Рыжов Ю. А., Якуш Е. В. Тепловые и гидродинамические процессы в колеблющихся потоках. М.: Машиностроение, 1977.
3. Галиуллин Р. Г., Репин В. В., Халитов Н. Х. Течение вязкой жидкости и теплообмен тел в звуковом поле. Казань: изд. Казанск. ун-та, 1978.
4. Andres J. M., Ingard U. Acoustic streaming at low Reynolds numbers.— *J. Acoust. Soc. Amer.*, 1953, vol. 25, N 5.
5. Калашников Н. В., Черникин В. И. Виброподогрев вязких нефтепродуктов. М.: Гостоптехиздат, 1961.
6. Бузник В. М., Везломцев К. А. Некоторые результаты обобщения экспериментальных данных по интенсификации процессов конвективного теплообмена.— Изв. высш. учеб. заведений. Энергетика, 1959, № 8.
7. Аксельруд Г. А., Фиклистов И. Н., Троцкий В. И. Массообмен между твердыми частицами и пульсирующим потоком жидкости.— ИФЖ, 1978, т. 34, № 5.

УДК 532.72

ВЛИЯНИЕ ТЕРМОДИФФУЗИИ НА СВОБОДНУЮ КОНВЕКЦИЮ БИНАРНОЙ СМЕСИ В ПОЛОСТИ КВАДРАТНОГО СЕЧЕНИЯ

M. И. Кислухин, А. Ю. Пинягин, А. Ф. Шеничников
(Пермь)

Известно, что явление термодиффузии может существенно влиять на конвективную устойчивость бинарной смеси, состоящей из нереагирующих компонентов [1]. Изучению конвективной устойчивости равновесия жидкой бинарной смеси в плоском горизонтальном слое посвящены работы [2—9], в [3—7] получена петля гистерезиса в задаче Бенара для двухкомпонентной жидкости, в [3—5] проведено также экспериментальное исследование этой задачи. Влияние термодиффузии на конвективную устойчивость равновесия и конвективный тепломассоперенос в вертикальной щели изучено в [4, 10, 11]. В [12] теоретически и экспериментально изучается влияние термодиффузии на теплопередачу через пограничный слой. Исследование свободной конвекции жидкой бинарной смеси в наклонной прямоугольной полости выполнено в работе [13].

В данной работе численно исследуется свободная конвекция бинарной смеси в квадратном горизонтальном цилиндре с учетом термодиффузии. Рассматривается подогрев сбоку. Считается, что термодиффузия является единственной причиной возникновения неоднородности концентрации. Исследование проведено для газовых смесей и водных растворов солей. Показано, что при слабой конвекции нормальная термодиффузия может привести к увеличению скорости конвективного движения более чем в 2 раза, а аномальная — к ослаблению. При числах Рэлея порядка 10^3 отмечено появление вертикальной составляющей градиента концентрации в центре полости. В случае аномальной термодиффузии максимальное значение функции тока оказывается неоднозначной функцией числа Рэлея (наблюдается гистерезис). При числах Рэлея больше 10^4 влиянием термодиффузии на конвективное движение можно пренебречь.

Рассмотрим квадратный бесконечный горизонтальный цилиндр высотой a , заполненный жидкостью бинарной смесью. Боковые границы непроницаемы и имеют различные температуры T_1 и T_2 . Верхняя и нижняя